

討 9 ステンレス粗溶鋼の脱りん

住友金属工業中央技術研究所
○松尾 亨 工博 池田隆果
钢管製造所 亀川憲一 阪根武良

1. 緒 言

従来、ステンレス鋼の脱りんは不可能と考えられていた。ところが、1975年、 $\text{Ca}-\text{CaF}_2$ ¹⁾を用い、ESRで還元脱りんするという画期的な方法が開発されて以来、この方面的研究が盛んになり、 CaC_2 - CaF_2 ²⁾あるいは CaC_2 ³⁾を用いる方法があいついで開発された。

一方、著者らは、現場的に手馴れた酸化脱りん法について、特に $[\text{Cr}]$ がほとんど酸化されない程度の弱い酸化力を与えて脱りんする方法について検討した。その結果、粗溶鋼段階でも脱りん可能な、 BaO 系フランクスを用いる方法を開発したので報告する。

2. フランクスの選択

これまで、ステンレス鋼の酸化脱りんは、 $[\text{Cr}]$ が優先酸化されるため、不可能と考えられていた。そこで他の脱りん法として、ハロゲン化による脱りんを期待し、1979年、 $\text{CaO}-\text{FeCl}_2$ ⁴⁾を用いる方法を開発した。この方法ではFig.1に示すとく、クロム溶銑では良好な脱りんが進行した。しかしながら、 $[\text{C}] \leq 2\%$ のステンレス粗溶鋼に適用しても、スラグが硬化し、脱りんは進行しなかった。調査の結果、このフランクスによる反応は、 CaO と FeCl_2 とが反応し、生成した FeO による酸化脱りんであり、スラグの硬化は、この FeO によって $[\text{Cr}]$ が酸化されて生成した Cr_2O_3 の量が、スラグ中のその溶解度の限界を越えるためであることがわかった。その後、 $\text{CaO}-\text{CaCl}_2$ - Cr_2O_3 ⁵⁾を用い、スラグが硬化しない範囲に Cr_2O_3 を調整したが、ステンレス粗溶鋼の場合、処理温度がクロム溶銑のそれに比べ高くせざるを得ないためか脱りんは少ししか進行しなかった。

そこで、今回 CaO に比べより塩基性の高い BaO を用い、媒溶剤として BaCl_2 を使用すると共に、酸化剤としてクロムロスが起こらない Cr_2O_3 を、スラグが硬化しない範囲で添加することを基本とする方法を選択した。

3. 実験方法

3.1 ルツボ実験

タンマン炉を用い、 MgO ルツボ内で、Table 1に示す成分のステンレス粗溶鋼を大気溶解し、所定の温度（主として 1450°C ）に調節した後、 $\text{BaO}40\%-\text{BaCl}_260\% 100\text{kg/t}$ を添加し、インペラーで攪拌しながら、酸化剤（主として $\text{Cr}_2\text{O}_3 10\text{kg/t}$ ）を分投するという方法で行なった。

3.2 実炉実験

10t AODを用いて行った。手順は、電気炉でステンレス粗溶鋼を溶製し、脱珪した後、AODに装入しAr攪拌しながら、 $\text{BaCO}_3-\text{BaCl}_2 110\text{kg/t}$ を少量のカーボンと共に添加するという方法で行なった。 BaCO_3 を用いた理由は、 BaO より入手し易すこと、 BaCO_3 が溶鋼表面で BaO と CO_2 に分解し、この CO_2 が酸化剤となり、 $[\text{Cr}]$ を酸化し、結局 $\text{BaO}-\text{BaCl}_2-\text{Cr}_2\text{O}_3$ となるためである。

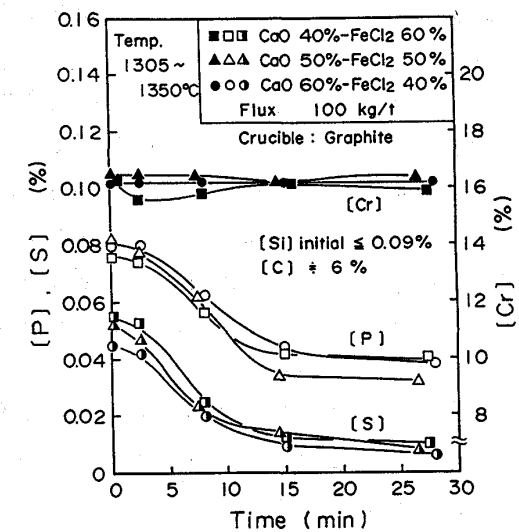


Fig. 1 Dephosphorization of carbon saturated iron containing chromium with $\text{CaO}-\text{FeCl}_2$ flux

Table 1. Composition of crude stainless steel used (%)

C	Si	Mn	P	S	Cr	Ni
0.4~2.8	<0.1	<0.1	0.03	0.03	10~25	0~73

4. 実験結果

実験結果の代表例として、AODで行なった場合の結果をFig.2に示す。AODではAr強攪拌のため、処理時間わずか5分で、脱りん率60%が得られ、同時に[V][S]がそれぞれ90%以上除去出来た。

4.1 脱りんに及ぼす粗溶鋼成分の影響

4.1.1 [C]の影響 [C]を0.5~6%まで変

化させた場合のルツボ実験結果をFig.3に示す。なおFig.3は、調査したメタルの融点より30~50°C高い温度で実験を行った場合の結果である。このように、本法では[C]≤2%のステンレス粗溶鋼でも脱りんが可能である。

4.1.2 [Cr]の影響 ルツボ実験結果をFig.4に示す。[Cr]が高くなる程スラグは短かい時間で硬化する傾向が見られ脱りん率も低下した。しかしながらFig.4に併記したように、AOD実験の場合、強攪拌のためか、[Cr]が高くなつても脱りん率の低下はあまり大きくなかった。このことから本法では本質的には25%Crレベルでも充分脱りん可能であることがわかる。

Fig.4には脱りんに及ぼす[Ni]の影響も示したが、[Ni]は本脱りんには影響しないようであり、Niベース合金の脱りんも可能である。

Fig.5は、23~25%Crの粗溶鋼をAODで脱りんした場合の結果である。このように本法では、シングルスラグ処理で[P]≤0.013%にすることが可能である。

4.2 脱りんに及ぼす処理温度の影響

Fig.6に示すように、低温程良好な脱りんが進行した。この傾向は通常の酸化脱りんの場合と同じである。図からわかるように、高い脱りん率を得るために、1500°C以下で処理することが重要である。

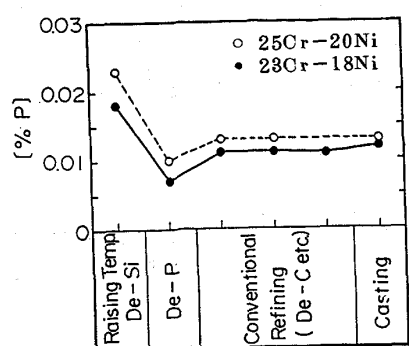


Fig. 5 Change in phosphorus content

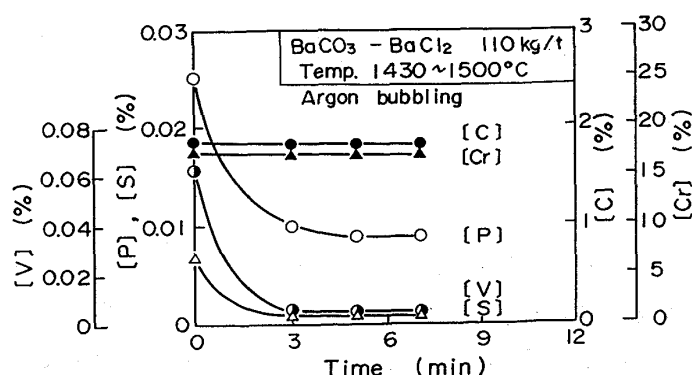


Fig. 2 Refining behaviour of crude stainless steel in AOD

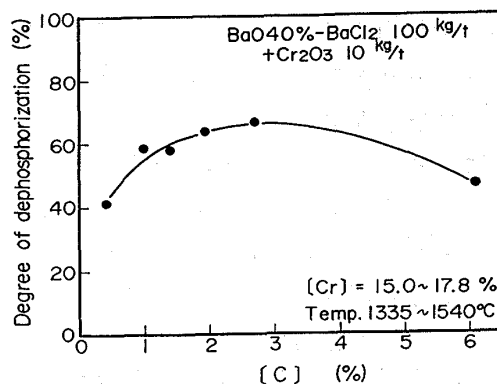


Fig. 3 Effect of carbon content on dephosphorization of crude stainless steel with BaO-BaCl₂-Cr₂O₃ flux

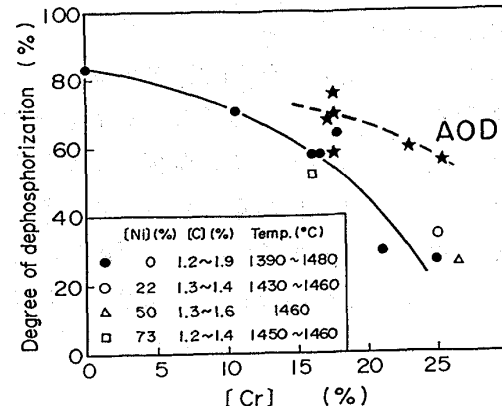


Fig. 4 Effect of chromium content on dephosphorization of crude stainless steel with BaO-BaCl₂-Cr₂O₃ flux

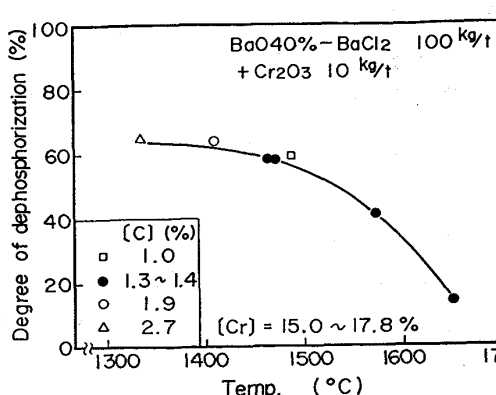


Fig. 6 Effect of temperature on dephosphorization of crude stainless steel with BaO-BaCl₂-Cr₂O₃ flux

4.3 脱りんに及ぼす媒溶剤の影響

媒溶剤として、 BaCl_2 の代りに CaCl_2 あるいは MgCl_2 を用いた場合、わずかの脱りんしか進行しなかった。一方、Fig.7に示すように、 BaF_2 を用いた場合は、 BaCl_2 を用いた場合と同程度の脱りんが進行した。このことから、 BaO は同じ Ba の塩化物かフッ化物と組み合わせることが重要と考えられる。

4.4 脱りんに及ぼす酸化剤の影響

酸化剤として、 Cr_2O_3 の代りに、同じ酸素量に相当する Fe_2O_3 あるいは酸素ガスを、分投あるいは MgO パイプを使って溶鋼中に吹き込んだ場合のルツボ実験結果をFig.8に示す。 Fe_2O_3 あるいは酸素ガスを用いた場合、粗溶鋼中の $[\text{Cr}]$ が0.5%程度酸化されたが、脱りんは Cr_2O_3 を用いた場合と同程度進行した。このように、 CO_2 を含め、 Cr_2O_3 より高い酸化力を有する酸化剤を用いた場合でも、その酸化剤で $[\text{Cr}]$ が酸化され、結局は Cr_2O_3 がスラグ中に生成するため、 Cr_2O_3 を用いた場合と同じことになる。重要なことは、生成する Cr_2O_3 の量を、スラグ中のその溶解度以下に制御し、スラグが硬化することである。なお、Fig.9に示すように、 $\text{BaO}-\text{BaCl}_2$ への1450°Cでの Cr_2O_3 の溶解度は約7%である。そしてこの値は、 $\text{CaO}-\text{CaCl}_2$ へのそれの2%以下という値より大きい。

4.5 極低りんステンレス鋼の溶製

極低りんステンレス鋼を溶製するために、AODでダブルスラグ処理を行なった結果をFig.10に示す。このように、本法では $[\text{P}]=0.006\%$ の極低りん鋼の溶製も可能である。

5. 考 察

脱りん処理中、硬化する前に採取したスラグの成分を

Table 2に示す。りんはスラグに吸収されていることがわかる。

そこで、スラグに吸収されたP量と脱りんされたP量の関係をFig.11に示す。なお、計算に用いたスラグ量は、ブラックスとして添加したBa量とスラグ分析で得られたT・Ba値から求めた。

バラツキが見られるが、脱りんされたPは、全てスラグに吸収されており

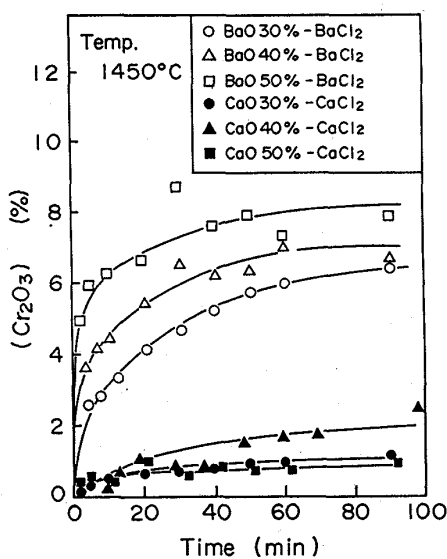


Fig. 9 Solubility of Cr_2O_3 in $\text{BaO}-\text{BaCl}_2$ and $\text{CaO}-\text{CaCl}_2$ flux

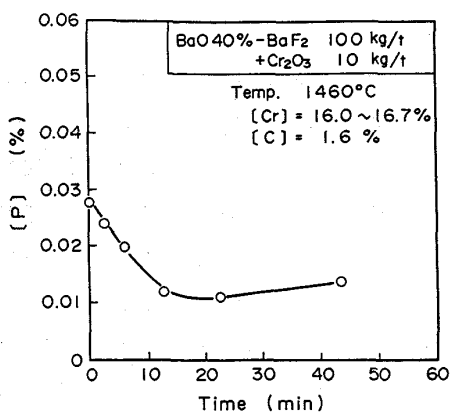


Fig. 7 Dephosphorization of crude stainless steel with $\text{BaO}-\text{BaF}_2-\text{Cr}_2\text{O}_3$ flux

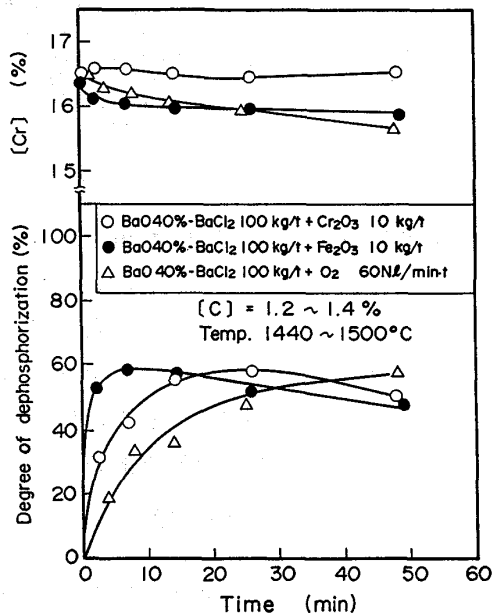


Fig. 8 Effect of oxidizer used with $\text{BaO}-\text{BaCl}_2$ on dephosphorization of crude stainless steel

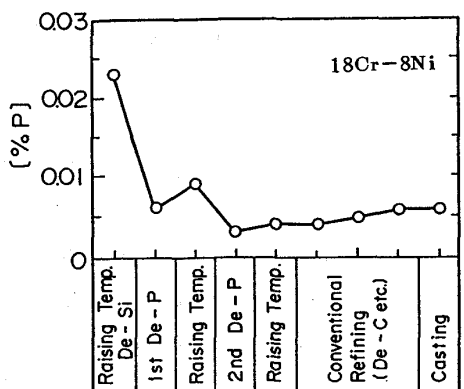


Fig. 10 Change in phosphorus content of metal

本脱りん反応が、スラグ—メタル反応であることがわかる。

次に、X線回折で、脱りん処理後のスラグ中のりん化物を同定した。試料は、[P]=1%と少し高い濃度のPを含有するステンレス粗溶鋼を、 $\text{BaO}-\text{BaCl}_2-\text{Cr}_2\text{O}_3$ を用い脱りんした後のスラグを、白金ルツボ内で炉冷したものを使用した。調査したスラグ成分をTable 3に示す。その結果、Fig.12に示すように、Pの化合物として $\text{Ba}_5\text{Cl}(\text{PO}_4)_6$ が同定された。このような化合物が、溶融スラグ中でも存在していたかどうかはわからないが、このことから、本脱りんは酸化脱りんであり、塩素もこの反応に寄与した可能性があるものと考えられる。

Table 3. Composition of slag used for X-ray analysis (%)

T·Ba	Cr_2O_3	P_2O_5	SiO_2	C1	T·Fe
6.0.1	7.1	5.5	1.2	16.9	0.2

6. 結 言

塩基性物質として BaO を用い、媒溶剤として BaCl_2 あるいは BaF_2 を使用し、酸化剤として Cr_2O_3 , Fe_2O_3 等を、スラグが硬化しない範囲で添加すれば、[C]≤2% のステンレス粗溶鋼でも、フラックス 100 kg/t で、60% の脱りんが可能であり、同時に 90% 以上の脱硫、脱バナジウムが進行することがわかった。

このように、 BaO 系 フラックスの方が、 CaO 系のそれより良好な脱りんが進行した理由は、 BaO 系の方が CaO 系より強塩基性であり、かつより高い Cr_2O_3 の溶解度を持つことにより、容易にスラグが硬化せず、スラグ—メタル反応が良好に進行したためと考えられる。

引用文献

- 1) 徳光直樹, 原島和海, 中村 泰: 鉄と鋼, 63(1977)13, p.230
- 2) 片山裕之, 梶岡博幸, 稲富 実, 原島和海: 鉄と鋼, 65(1979)8, p.37
- 3) 北村和夫, 竹之内朋夫, 鈴木是明: 鉄と鋼, 66(1980) S227
- 4) 池田隆果, 多賀雅之, 松尾 亨: 鉄と鋼, 65(1979) S739
- 5) Y. Umeda, T. Ikeda, T. Aoki and T. Matsuo : The Ninth Japan-USSR Joint Symposium on Physical Chemistry of Metallurgical Processes, ISIJ, Moscow (1983), p.165
- 6) 青木健郎, 松尾 亨: 鉄と鋼, 68(1982) S293

Table 2. Composition of slag after dephosphorization (%)

T·Ba	P_2O_5	Cr_2O_3	T·Fe	C1
5.8~7.0	0.2~0.7	2.5~7.6	0.2~2.1	14.7~19.1

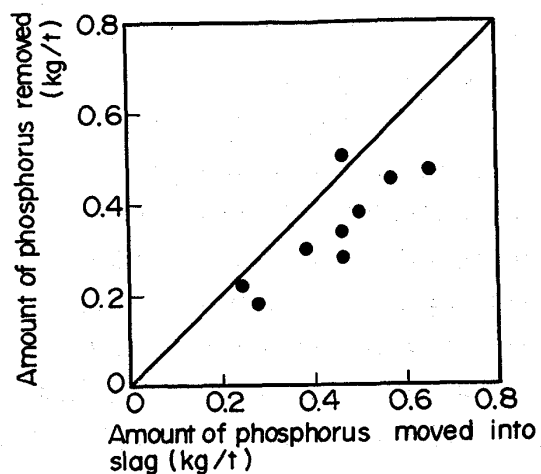


Fig. 11 Relation between amount of phosphorus removed and amount of phosphorus moved into slag

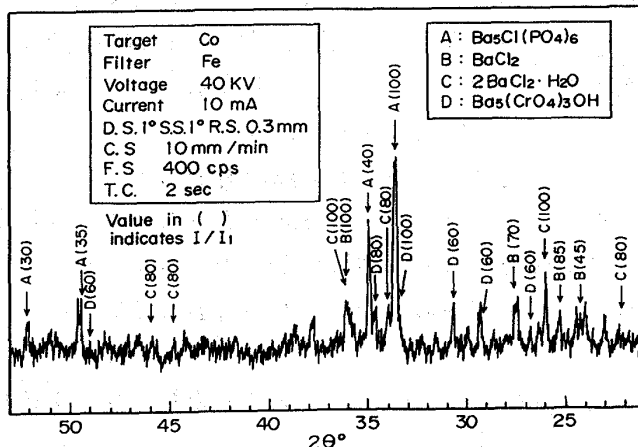


Fig. 12 Result of X-ray analysis of the slag after dephosphorization treatment with $\text{BaO}-\text{BaCl}_2-\text{Cr}_2\text{O}_3$ flux